

(討8) 溶鉄のシリコン脱酸反応機構について

東北大 金研

○坂上大郎, 鈴木セサ
佐藤圭司, 鈴井典士

緒言

脱酸反応の機構については多くの研究が報告されているが、その内容にはまだ不明の点が多く残されている。このような問題点を明らかにするため、本報ではSi脱酸について種々の実験を行い、反応の進行を考察した。

実験方法

(1) Si脱酸

高周波炉、タンマン炉を用いてアルゴン気流下で電解鉄を溶解し、純鉄浴に包んだ所定量のSiを添加し、2,3秒攪拌後一定時間ごとにサンプリングを行い、試料のSi, O分析値および抽出介在物の分析、顕微鏡観察から脱酸過程を追跡した。

(2) Si脱酸

先端から~60mmの位置に小孔をあけた一端封じの石英管(内径~15mmΦ)にSiを装入しておき、アルゴン気流下でこれを溶鉄中(タンマン炉溶解)に30mmでほど浸漬し、Siの溶けたところさらに浸漬して小孔より~20gの溶鉄を採取し、採取直後および所定時間保持してから水中急冷した。

(3) 逆反応

A気流中で溶解した密閉高周波炉内の溶鉄にSi添加後、表面の皮膜を除去し、1560°Cにて1時間保持してから急速に昇温する。所定温度に到達したらサンプリングを開始し、試料のSi, O濃度変化を追跡した。

このような3種の実験を行ったが、以下これらを実験(1), (2), (3)と略称する。

実験結果

実験(1) (a) Si濃度の影響

図1は内径~35mmΦの不透明石英ルツボに電解鉄を~450g溶解し、1600°CでSi添加量を変えたときの脱酸率曲線を示した。Siが高くなると平衡酸素値は低くなるが、平衡値を到達する時間は、0.07%では~7,8分、1.5%の場合には~20分とSi濃度によって明らかに差があり、とくに0.07%のときに短時間で平衡に到達するものが顕著に認められる。同様な傾向はFischerも報告しているが、Si濃度とともに溶鉄の粘性が増大し、SiO₂粒子の浮上速度が小さくなるためとする従来の説明は当を得ていない。

実験(1) (b) ルツボ材質の影響

図2はSi~0.07%の脱酸過程に及ぼすルツボ材質の影響を示したが、SSAルツボを使用すると平衡酸素値も低下するが、それと同時に到達時間もSiO₂ルツボの~7分から~15分と長くなることが明らかとな

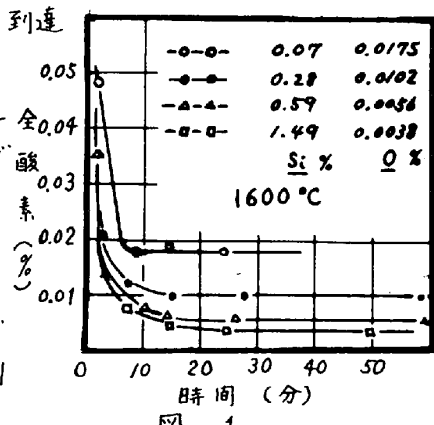


図 1

った。この两者はルツボ材質が異なるだけで、溶解量、Si添加量、ルツボ形状、高周波の加熱パワーなどの条件がほとんど同一であり、また脱酸生成物の組成とか粒子の變化にも差が認められない。したがって同じSiO₂が同一条件で浮上してゆくと考えられるので、到達値の大小はともかく、到達時間は同程度になっておりこれが期待されるが、事実は期待に反した。これに対してルツボ材質のSiO₂粒子の吸着速度の相違を考慮することはできるが、SiO₂, SSA, CP, MgOルツボでSi~0.3%脱酸を検討した結果

、到達時間はいずれも～15分で、材質による差は認められず、図2の結果は吸着速度の相違といったものに基くものではな…ことが判明した。

実験 (1) (c)

$\text{Si} \sim 0.2\%$ と $\sim 0.6\%$ の二系列について、 SiO_2 ルツボを使用したときの脱酸過程に及ぼす温度の影響を検討した。 $\sim 0.6\%$ の場合には 1650°C に昇温しても到達時間に差が認められないが、 $\sim 0.2\%$ のときは 1600°C の～15分から～7分で平衡値に到達するところが分った。温度上昇によって SiO_2 粒子が浮上しやすくなるという見解をとると、 $\sim 0.6\%$ Si のときの結果を説明することはできまい。

以上述べた実験(1)の諸結果は、 Si 添加時に SiO_2 粒子の生成が終りそれが徐々に浮上すると考えると、いざれも説明困難な事実といわなければならぬが、さらにこれを裏付けるものとして

実験 (2)

溶鉄を採取後最高5分まで一定温度に保持したが、 SiO_2 の粒子径は採取直後に急冷したときの～1μから、保持時間中徐々に成長を続ける。5分では～5,6μにある。粒子は球形のものがほとんどで、瓢箪形のものは少く、また粒子径はほぼ均一であった。一方 $\text{Al}-\text{Si}$ 脱酸では5分間の保持で2μで止むのが成長しなかった。 Si 脱酸の粒子成長が、凝集によるものであれば、 $\text{Al}-\text{Si}$ 脱酸でも同程度の粒子が存在してよいはずであるし、粒子がほとんど球形であることから、この成長は粒子界面での反応によるものであり、これが少くとも5分間も続いていると見なければならない。すなまち Si がすみやかに溶鉄に均一溶解するような条件下でも、反応は短時間には終らないことが明らかになった。

以上、 SiO_2 の生成が短時間にほぼ完結するという見方も否定する種々の実験事実を説明したが、反応進行の違い理由としては次のようないき方があげられる。

[I] $\left\{ \begin{array}{l} (1) \text{拡散生長 (反応界面では local equilibrium が成立する) が遅い。} \\ (2) \text{界面における反応が遅い。} \end{array} \right.$

[II] SiO_2 の核生成が抑制される。

まず拡散生長：時間がかかるという見方であるが、実験(2)の結果は粒子生長が凝集によらないこと、保持時間中全酸素価がほぼ一定なことから生成粒子は浮上してな…と考えてよ…こと、さらに粒子径が均一などから、溶鉄採取時に生成核が溶鉄中にはほぼ均一に分散すると見られるなどから、Turkdogan の粒子生長の取扱いの初期条件を大体満足していると考えられる。

次式によつて計算した粒子生長を図示すると、図3のようになるが、

$$\frac{Dt}{r_0^2} \left(\frac{C_0 - C_e}{C_s} \right)^{1/3} = \frac{1}{6} \ln \frac{u^2 + u + 1}{(u-1)^2} - \frac{1}{3} \tan^{-1} \frac{2u+1}{\sqrt{3}} + \frac{1}{\sqrt{3}} \tan^{-1} \frac{1}{\sqrt{3}}$$

$$u = \left(\frac{C_0 - C_m}{C_0 - C_e} \right)^{1/3}$$

C_0, C_e : 溶鉄中の初期酸素および平衡酸素濃度

C_s : 介在物中の酸素濃度 C_m : 溶鉄中の酸素濃度

実験結果では5分間も成長を続けるので、図を参照すると、これは核の数が少な…場合に対応している。これはこのようないき場合には～70μまで成長するはずであり、これは6μといふ事実と著しく相違している。

このことは local equilibrium を前提とした拡散生長モデルが適当ではな…ことを暗示しているよう思はれるが、次に実験(3)を説明しよう。

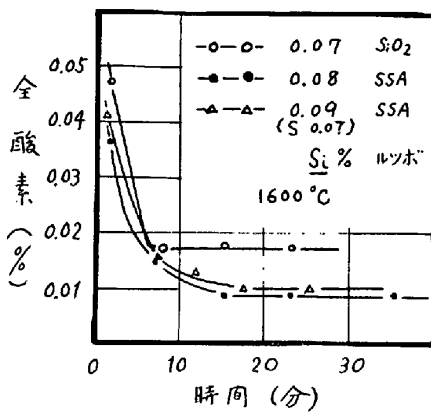


図 2

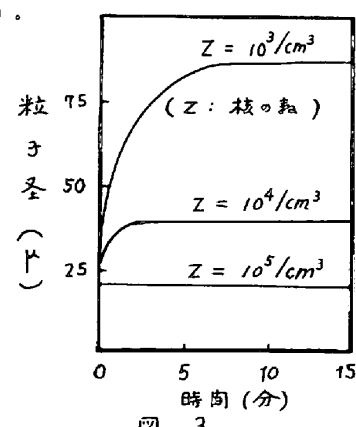


図 3

はとくに短縮されなかつた。このことから均一核生成は、Si添加時一時的に高Si濃部が形成され、著しく大きい過飽和度を生じた時臭ではほぼ完了し、それ以後均一核生成によつて、徐々に溶鉄内部に SiO_2 が生成されることはないようと思はれる。ただ核生成の過程には不明の臭が多く、例えは添加時の攪拌の度合などによつて、かなりの影響をうけることもありうると考へる。

以上 Si 脱酸の挙動を研究した結果、次のよきな結論に達したが、

(1) SiO_2 の生成が短時間に終るとはありえない

(2) 脱酸の進行は、拡散律速とは考へられない

正反応と逆反応では、平衡到達時間にずれがあること、また Si 濃度によつても差のあることなど、本を検討を要する問題も残されており、これら諸臭も含めて Si 脱酸の機構を報告したい。

脱酸過程における介在物の挙動

脱酸生成物は、ヨードアルコール法および電解法によつて抽出した。 Si 添加直後は $\sim 10\mu$ から $\sim 0.5\mu$ までの大小さまざま粒子が存在しているが、時間がたつと次第に大粒子は減少してゆき、平衡酸素価に到達する時臭では、 $\sim 2\mu$ で $\sim 2\mu$ 粒子が大半を占めるようになる。しかしながら大きな粒子を多少認められ、粒子径の不均一がまだ残っている。これからさらに1時間も保持すると、粒子径は非常に均一となる。このように長時間保持した試料からの介在物を観察すると、平衡酸素価の低いほど、また急冷試料の方が粒子径は小さくなることが分った。また電子顕微鏡で観察した結果、球形ないし瓢箪形の介在物のみではなく、樹枝状の微細な介在物の存在が確認された。このよきな介在物は酸素濃度の高いときに多量に認められる。